

27 ноября 1986 года, приведенные на рис. 2. В верхней части рисунка изображено изменение интенсивности линии, а в нижней — усредненные спектры до и после возмущения, имевшего место около 18 часов московского времени. Расчет показывает, что в течение часа содержание озона выше 30 км увеличилось от $5,5 \cdot 10^{17}$ мол/см² до $1,3 \cdot 10^{18}$ мол/см², а затем в течение 3—4 часов релаксировало к прежнему уровню. Сильные внутрисуточные вариации озона, отмеченные нами в течение большей части времени наблюдений, вероятно, могут быть связаны с некоторым особым режимом воздушных течений, характерным для арктической стратосферы.

В заключение еще раз подчеркнем, что нам не удалось обнаружить регулярный суточный ход излучения стратосферного озона на широте Полярного круга в длительных наблюдениях. Что касается средних широт, то серии коротких измерений, проведенных с интервалом два года в Алма-Ате и Горьком, указали на наличие регулярных суточных ходов разного знака.

ЛИТЕРАТУРА

- Кисляков А. Г., Куликов Ю. Ю., Рыскин В. Г. // Сб.: Спектральные исследования космического и атмосферного излучения. — Горький. ИПФ АН СССР, 1979. С. 84.
- Куликов Ю. Ю., Рыскин В. Г. // Радиотехника. 1986. № 7. С. 92.
- Воронов В. Н., Демкин В. М., Куликов Ю. Ю., Рыскин В. Г., Юрков В. М. // Изв. вузов. Радиофизика. 1986. Т. 29. № 12. С. 1403.
- Hermann J. R. // J. Geophys. Res. 1979. V. 84. P. 3701.
- Pollister R. C., Tuck A. F. // Q. J. R. Meteorol. Soc. 1983. V. 109. P. 271.
- Lean J. L. // J. Geophys. Res. 1982. V. 87. P. 4973.
- Natarajan M., Callis L. B., Boughner R. E., Russell J. M., Lambeth J. D. // J. Geophys. Res. 1986. V. 91. P. 1153.
- Penfield H., Litvak M. M., Gottlieb C. A., Lilley A. E. // J. Geophys. Res. 1976. V. 81. P. 6115.

Институт прикладной физики
АН СССР

Поступила в редакцию
26 июля 1988 г.

УДК 535.233:537.871.5

ПОЛЯРИЗАЦИЯ УХОДЯЩЕГО СВЧ ИЗЛУЧЕНИЯ ДОЖДЯ С ГОРИЗОНТАЛЬНО НЕОДНОРОДНЫМ РАСПРЕДЕЛЕНИЕМ ИНТЕНСИВНОСТИ

A. N. Резник

Одной из актуальных задач радиотеплоподачи является обнаружение осадков по измерениям уходящего радиоизлучения системы «земная поверхность — атмосфера». Известные методы, использующие пространственно-временные контрасти радиояркости [1] или особенности спектральных характеристик теплового излучения дождя [2, 3], недостаточно точны из-за больших ошибок при разделении вкладов облачности и дождя в оптическую толщу атмосферы. В связи с этим большой интерес представляет исследованная в работах [4—7] поляризация теплового излучения среды (в частности дождливой атмосферы), в которой наряду с поглощением существенно рассеяние. Измерение поляризации радиоизлучения дождя на см- и мм-волнах позволяет различить осадки на фоне облачности. По данным работ [4—7] отмеченный эффект имеет место только при наблюдении под углом от нормали к поверхности земли. Последнее затрудняет обнаружение осадков по уходящему СВЧ излучению, поскольку в этом случае поляризация радиоизлучения дождя должна быть измерена на фоне сильно поляризованного излучения земной поверхности. Отсутствие поляризации у теплового излучения осадков в вертикальном направлении связано с тем, что в работах [4—7] дождь моделировался плоским однородным в горизонтальном направлении слоем. В данной работе исследована поляризация ортогонального поверхности радиоизлучения, возникающая при учете горизонтальной неоднородности дождя.

Будем считать, что слой дождя толщины H расположен над плоской водной поверхностью $z=0$, а интенсивность дождя J неоднородна вдоль горизонтальной оси y , причем $J = \begin{cases} \text{const}, & y \geq 0 \\ 0, & y < 0 \end{cases}$. В области дождя считаем показатели поглощения κ и рассеяния α постоянными, а вне этой области $\kappa = \alpha = 0$. Полагаем, что капли дождя имеют сферическую форму. Перенос теплового излучения в поглощающей и рассеивающей средах со сферическими частицами описывается уравнением [8, 9]

$$n \nabla_R T(n, R) + (\kappa + \alpha) T(n, R) - \alpha \int_{4\pi} d\Omega' \hat{\rho}(n, n') T(n', R) = \kappa I^0 T_0. \quad (1)$$

Здесь R — пространственная координата в системе x, y, z ; n — единичный вектор направления θ, φ ; $T = (T_E, T_H, T_u, T_v)$ — вектор яркостной температуры, компонентами которого являются модифицированные параметры Стокса [8], причем $T_{E,H}$ отвечают соответственно горизонтальной и вертикальной поляризациям; $p(n, n')$ — матрица рассеяния излучения, которую считаем соответствующей рэлеевскому рассеянию; $I^0 = (1, 1, 0, 0)$, T_0 — температура атмосферы, которую полагаем постоянной и равной температуре подстилающей поверхности.

Границные условия зададим в виде

$$T(n, R) \Big|_{\begin{array}{l} z=0 \\ 0 < \theta < \frac{\pi}{2} \end{array}} = \hat{R}(\theta) T(n^-, R) \Big|_{\begin{array}{l} z=0 \\ \theta^- = \pi - \theta \end{array}} + \rho T_0; \quad (2a)$$

$$T(n, R) \Big|_{\begin{array}{l} z=H \\ \frac{\pi}{2} < \theta < \pi \end{array}} = 0, \quad (2b)$$

где \hat{R} , ρ выражаются через комплексные коэффициенты отражения Френеля $r_{E,H}$ для горизонтальной и вертикальной поляризаций, причем матрица коэффициентов отражения $\hat{R}(\theta)$ имеет размер 4×4 и содержит элементы $R_{11} = R_E = |r_E|^2$, $R_{22} = R_H = |r_H|^2$, $R_{33} = R_{44} = \operatorname{Re}(r_E r_H^*)$, $R_{34} = -R_{43} = \operatorname{Im}(r_E r_H^*)$, остальные элементы $R_{ij} = 0$; вектор коэффициентов излучения подстилающей поверхности $\rho = (1 - R_E, 1 - R_H, 0, 0)$; n^- — зеркальный по отношению к n вектор.

Ограничимся при расчете радиоизлучения сантиметровым диапазоном волн. В этом диапазоне альбедо $w_0 = \alpha/\gamma \ll 1$, где $\gamma = \kappa + \alpha$ (см., например, [8]). Для решения уравнения (1) применим метод возмущений по параметру w_0 , использовавшийся также в работе [7]. Согласно этому методу яркостная температура излучения представляется как $T = T^{(0)} + T^{(1)}$, а уравнения для яркостных температур нулевого и первого приближений имеют вид

$$n \nabla_R T^{(0)}(n, R) + \gamma T^{(0)}(n, R) = \gamma I^0 T_0, \quad (3)$$

$$n \nabla_R T^{(1)}(n, R) + \gamma T^{(1)}(n, R) = -\alpha \left[I^0 T_0 - \int_{4\pi} d\Omega' \hat{p}(n, n') T^{(0)}(n', R) \right].$$

Границные условия для $T^{(0)}$ идентичны (2), а для $T^{(1)}$ в правой части (2a) необходимо отбросить второе слагаемое.

При решении системы уравнений (3) необходимо учесть, что из-за симметрии задачи яркостная температура не зависит от x , т. е. $T(n, R) = T(\varphi, \theta, y, z)$, при этом $n \nabla_R = \cos \theta (\partial/\partial z) + \sin \theta \sin \varphi (\partial/\partial y)$. Решение уравнений (3) находится в явном виде. Для радиоизлучения дождя в направлении вертикально вверх это решение имеет вид

$$T_{E,H}/T_0 = 1 - \operatorname{Re}^{-2\tau_z} - w_0 e^{-\tau_z} \left[\Psi_{E,H}^A(\tau_z, \tau_y, \varphi) + R \Psi_{E,H}^B(\tau_z, \tau_y, \varphi) \right], \quad (4)$$

$$T_u/T_0 = -w_0 e^{-\tau_z} \left[\Psi_u^A(\tau_z, \tau_y, \varphi) + R \Psi_u^B(\tau_z, \tau_y, \varphi) \right],$$

$$T_v/T_0 = 0.$$

Здесь $\tau_z = (\kappa + \alpha)H$, $\tau_y = (\kappa + \alpha)y$, $R = |r_E(\theta = 0)|^2 = |r_H(\theta = 0)|^2$. Функции $\Psi_{E,H,u}^A(\tau_z, \tau_y, \varphi)$ представляют собой суммы нескольких двойных интегралов по φ' , θ' , которые имеют промежуточный вид и здесь не приводятся.

Результаты расчетов по формулам (4) приведены на рис. 1, 2. Кривые 1—5 на этих рисунках соответствуют интенсивностям дождя $J = 4, 10, 15, 25, 35$ мм/ч. При проведении расчетов коэффициенты поглощения и рассеяния дождя, а также диэлектрическая проницаемость воды определялись при тех же предположениях, что и в работе [7] для $T_0 = 283$ К. Считалось, что $H = 1$ км.

На рис. 1 представлена зависимость степени поляризации радиоизлучения $\delta T = [(T_E - T_H)^2 + T_u^2]^{1/2}$ от глубины проникновения в зону дождя y для $\lambda = 1,6$ см, а на рис. 2 — зависимость δT от длины волны λ для $\tau_y = 0,2$. Видно, что при пересечении границы зоны дождя ($y = 0$) наблюдается эффект поляризации теплового радиоизлучения, который сначала резко возрастает, а затем исчезает по мере углубления в зону осадков (рис. 1). Максимум δT достигается на расстоянии $y \approx 0,5 \div 1$ км от границы дождя. В коротковолновой части сантиметрового диапазона величина δT достигает нескольких градусов (рис. 2) и может быть измерена современными радиометрами. Таким образом, рассчитанный эффект может быть использован для обнаружения зон осадков и установления их границ. Отметим, что степень поляризации излучения δT не зависит от азимутального угла φ (отсчитывается от оси x), в то время как каждый из параметров T_E , T_H , T_u от φ зависит. Направление пре-

Имущественной поляризаций излучения параллельно фронту дождя, т.е. при $\phi=0$ имеем $T_H - T_E = \delta T$, $T_u = 0$. Заметим, что при ортогональном зондировании направлениям горизонтальной (E) и вертикальной (H) поляризаций отвечают единичные векторы $e = \sin \phi x^0 - \cos \phi y^0$, $h = \cos \phi x^0 + \sin \phi y^0$. Зависимость яркостной температуры T от ϕ позволяет определить ориентацию фронта дождя. Для этого достаточно провести измерения T при четырех углах, например 0, 45, 90, 135°, которые удобно отсчитывать от направления движения приемника. Методика дальнейшего определения по этим значениям T направления преимущественной поляризации излучения хорошо известна (см., например, [10]). Кроме того, максимальное значение и характерный масштаб изменения по y степени поляризации излучения зависят от интенсивности дождя, поэтому поляризационные измерения позволяют оценить интенсивность осадков.

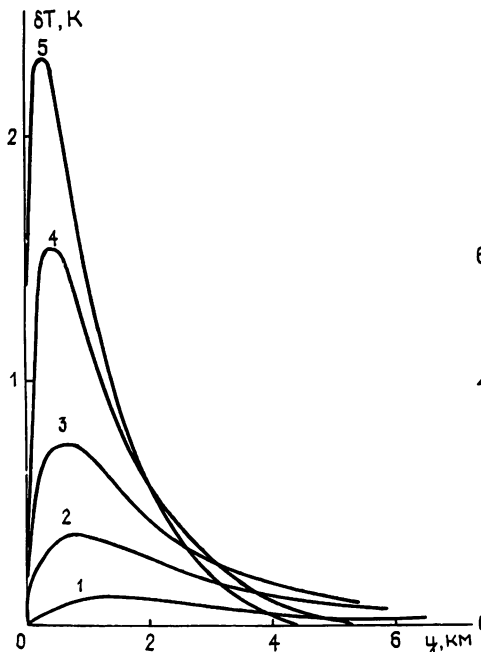


Рис. 1.

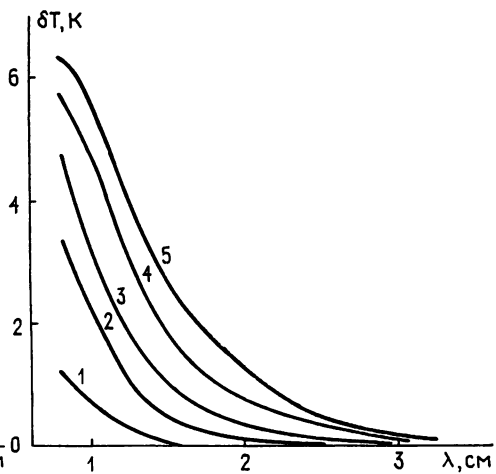


Рис. 2.

В заключение отметим, что при наблюдении под углом от нормали к поверхности земли поляризация радиоизлучения может быть вызвана не только рассеянием, но и несферичностью крупных капель дождя [11], деформирующихся из-за трения о воздух. В ортогональном направлении указанный эффект отсутствует, так как дождевые капли падают относительно воздушного потока вертикально и, следовательно, деформируются в направлении оси z .

Автор признателен Подвойской О. А. за помощь в проведении расчетов.

ЛИТЕРАТУРА

- Степаненко В. Д. Радиолокация в метеорологии. — Л.: Гидрометеоиздат, 1966. С. 149.
- Кутузов Б. Г., Петренко Б. З., Смирнов М. Т. // Труды VI Всесоюзного совещания. — Л.: Гидрометеоиздат, 1984. С. 247.
- Калашников В. В., Колдаев А. В., Мельничук Ю. В. // Труды VI Всесоюзного совещания. — Л.: Гидрометеоиздат, 1984. С. 260.
- Tsang L., Kong J. A., Njoku E., Staelin D. H., Waters J. W. // IEEE Trans. Antennas Propagation. 1977. V. AP-25. № 5. P. 650.
- Ishimaru A., Cheung R. L.-T. // Radio Sci. 1980. V. 15. № 3. P. 507.
- Смирнов М. Т. // Изв. АН СССР. Сер. ФАО. 1984. Т. 20. № 9. С. 820.
- Резник А. Н. // Радиотехника и электроника. 1985. Т. 30. № 7. С. 1282.
- Исимару А. Распространение и рассеяние волн в случайно-неоднородных средах. — М.: Мир, 1981. Т. 1. — 280 с.
- Апресян Л. А., Кравцов Ю. А. Теория переноса излучения. — М.: Наука, 1983. — 216 с.
- Борн М., Вольф Э. Основы оптики. — М.: Наука, 1973. — 720 с.
- Кутузов Б. Г. В кн. Радиофизические исследования атмосферы. — Л.: Гидрометеоиздат, 1977. С. 201.